

第 1 章

MAIKo TPC

1.1 MAIKo TPC とは

TPC は荷電粒子のトラックを検出するために広く用いられているガス検出器である。図 1.1 に TPC の模式図を示す。荷電粒子が TPC の検出ガス中を通過するとき、トラックの周囲の粒子をイオン化させる。イオン化で発生した電子をドリフト電場 (図 1.1 中 y 軸方向) により読み出し面にドリフトさせることでトラックを検出する。電子が読み出し面に到達する時間差によって、 y 軸方向の位置を決定することができる。読み出し面によって x, z 座標を決定することで、3 次的にトラックを決定できる。

TPC の有感領域中で入射粒子と標的粒子が反応することで、散乱点の周りを有感領域で覆うことができるため、散乱で放出される低エネルギーの荷電粒子を大立体角で検出することが可能となる。図 1.1 は検出器中で中性子と ^{12}C との散乱によって、3 つの α 粒子が放出されたイベント表す。これを実現する方法として、検出器そのものを標的として用いるアクティブ標的がある。アクティブ標的を用いた TPC として MAIKo TPC が開発された。MAIKo TPC は検出ガスを封入するチェンバー (MAIKo チェンバー) とドリフト電場を形成するケージ (ドリフトケージ) とからなる。ドリフトケージを図 1.2 に示す。MAIKo チェンバーを図 1.3 に示す。ドリフトケージを MAIKo チェンバー内に設置して用いる。

図 1.4 にドリフトケージの模式図を示す。ドリフトケージは plate, wire, grid, GEM (gas electron multiplier), μ -PIC からなる。plate, grid, GEM, μ -PIC に HV が接続されている。plate, wire, grid の間は $10\text{ M}\Omega$ の抵抗で繋がれている。GEM と HV は $1\text{ M}\Omega$ と $20\text{ M}\Omega$ の抵抗で繋がれている。plate から grid の間の領域をドリフト領域、grid から μ -PIC の間の領域を増幅領域、 μ -PIC の周囲を読み出し領域と呼ぶ。

1.1.1 ドリフト領域

grid から plate の方向 (図 1.4 では上向き) にドリフト電場を作ることによってトラックの周りに発生した電子を増幅領域へドリフトさせる。plate と grid にそれぞれ高電圧を印加することでドリフト電場を形成する。ドリフト電場の一様性が高いほど、電子を均等にドリフトすることができる。ドリフト電場を一様に形成するために $10\text{ M}\Omega$ の抵抗で接続された wire が 5 mm 間隔で巻かれている [?]. ドリフト領域はドリフト電場の方向に 140 mm である。ドリフト領域が MAIKo TPC の有感領域となる。

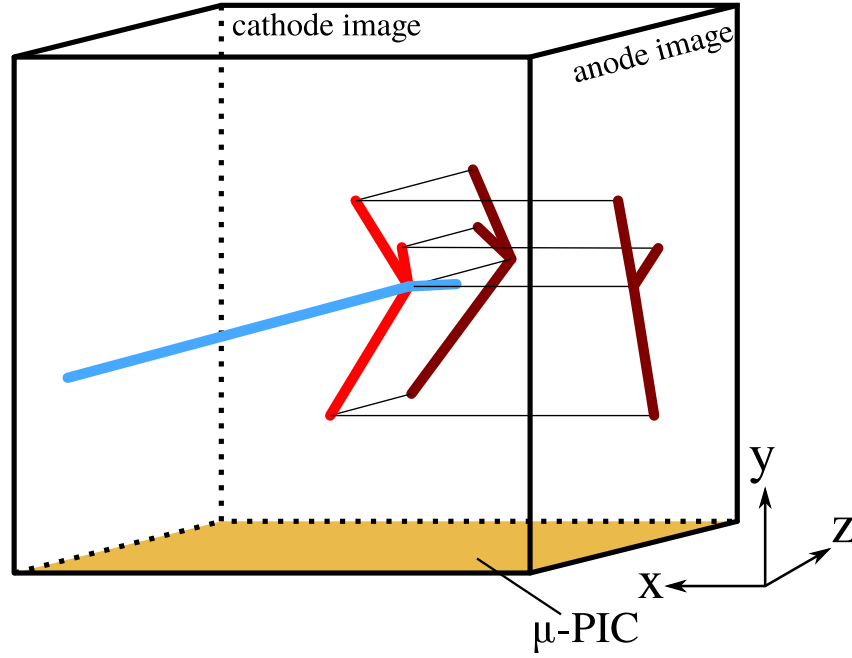


図 1.1: MAIKo TPC の概観図. 図では紙面手前から入射した中性子 (青) が TPC 中の ^{12}C と散乱して 3 つの α 粒子 (赤) に崩壊した事象を表す. anode image (zy 平面) と cathode image (zy 平面) の 2 平面に荷電粒子のトラックが射影される. 中性子は電荷を持たないため anode & cathode image にトラックとして検出されない.

1.1.2 増幅領域

MAIKo TPC では GEM と μ -PIC を用いて電子の増幅を行う. GEM は, 図 1.5 のようにポリマーのフィルムの表面を銅で被覆し, 直径 $70\mu\text{m}$ の穴を $140\mu\text{m}$ 間隔で 1mm^2 あたり 100 個の密度で開けたものである. 銅の 2 つの層はポリマーによって絶縁されている. 銅の両面に電圧を印加することによって, 穴の中に高電場が形成されドリフトしてきた電子が増幅される.

μ -PIC は図 1.6 のように anode strip と cathode strip が直交するように配置されている. anode strip, cathode strip とともに $400\mu\text{m}$ 間隔でそれぞれ 256 ch 分割されている. 直径 $50\mu\text{m}$ の円柱状の anode 電極に高電圧をかけることで高電場を形成することができ, μ -PIC によって信号が読み出される直前に電子が増幅される.

1.1.3 読み出し領域

図 1.1 中で anode strip は x 軸, cathode strip は z 軸と平行になるように μ -PIC が配置されている. GEM と μ -PIC により増幅された電子を anode strip と cathode strip により読み出し, それぞれ z 座標, x 座標を検出することができる. また, anode strip と cathode strip で検出される信号の時間分布により y 軸座標を決定することができる.

MAIKo TPC からは図 1.1 のようにトラックが anode strip に垂直な面 ($z-y$ 平面) に射影された anode

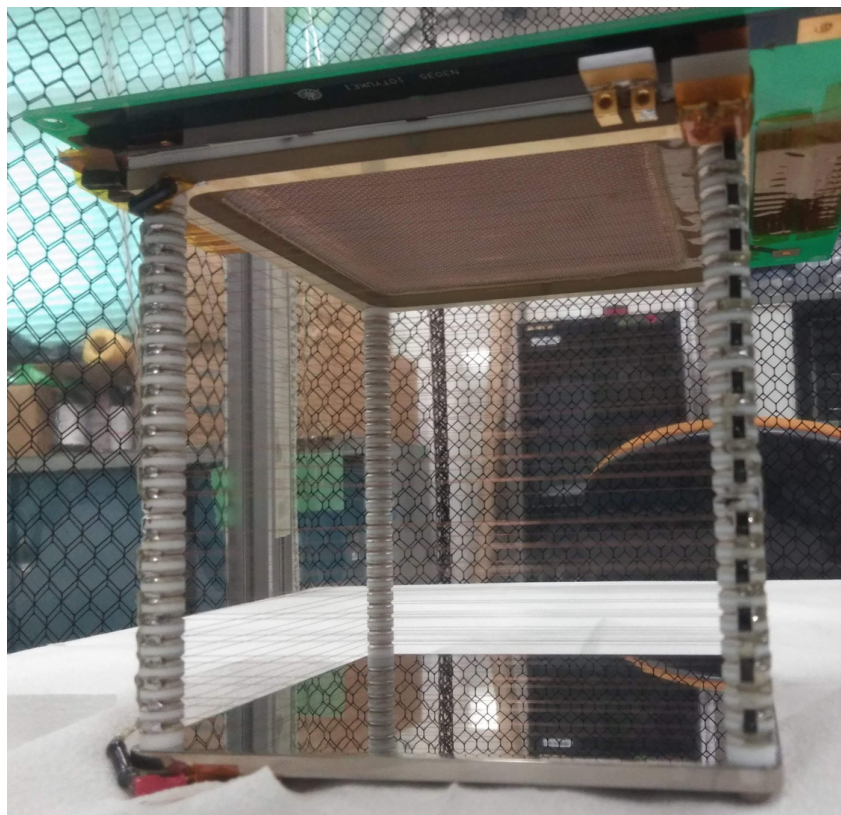
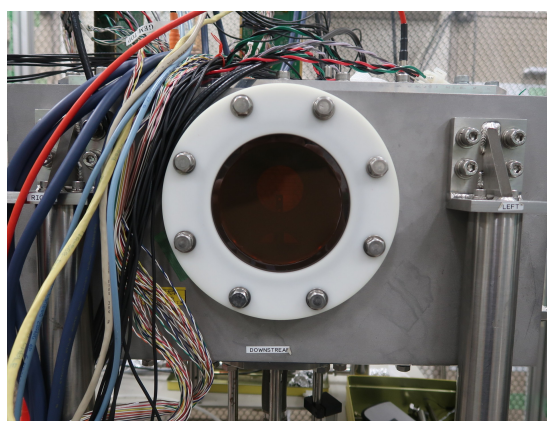
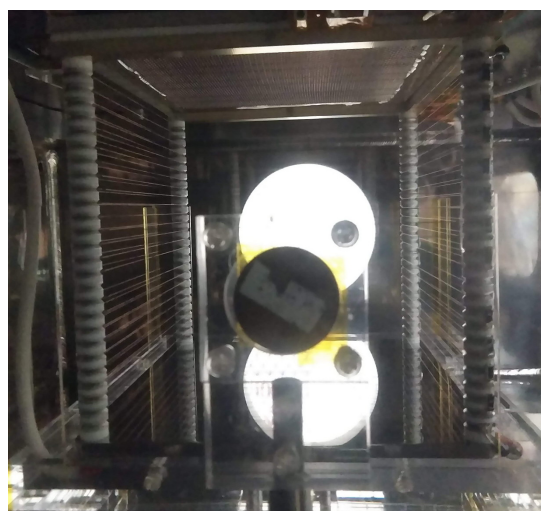


図 1.2: ドリフトケージの概観. 図 1.1 の模式図とはドリフト方向が上下が反転している.



(a) 外側.



(b) 内側.

図 1.3: MAIKo チェンバー.

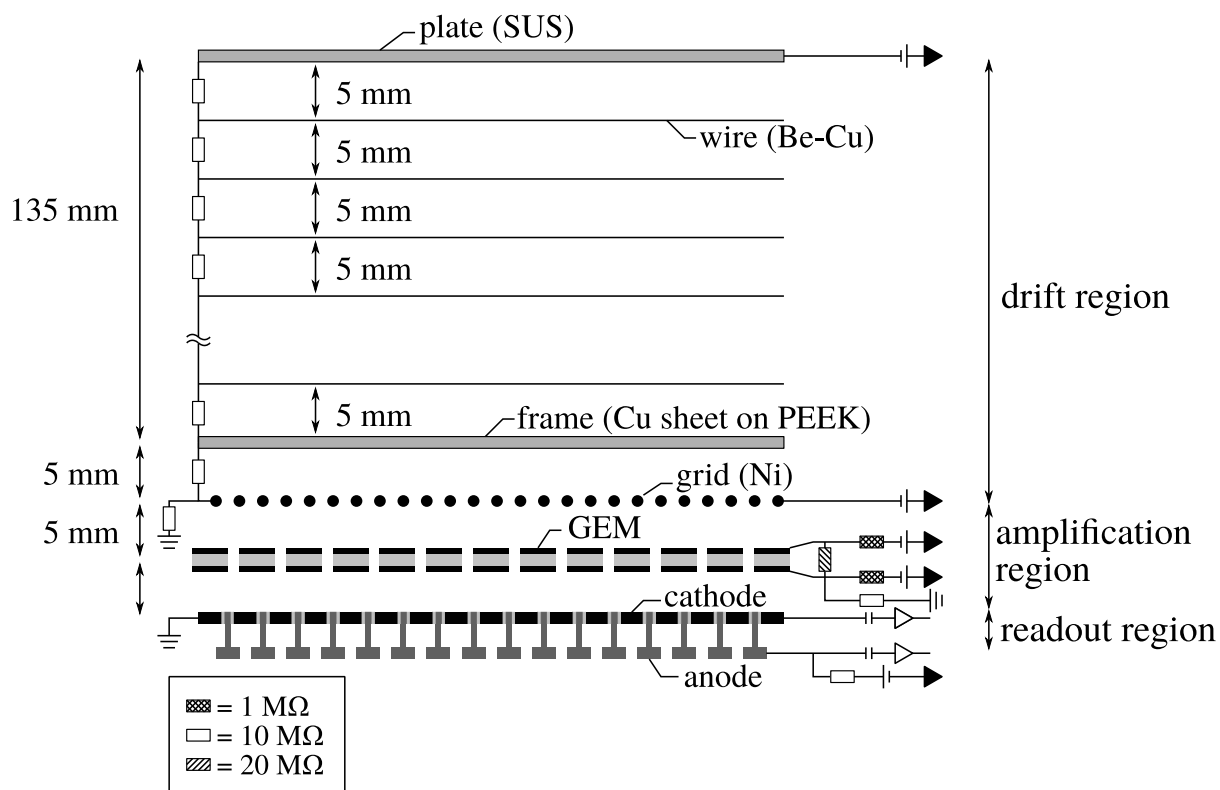


図 1.4: ドリフトケージの構造.

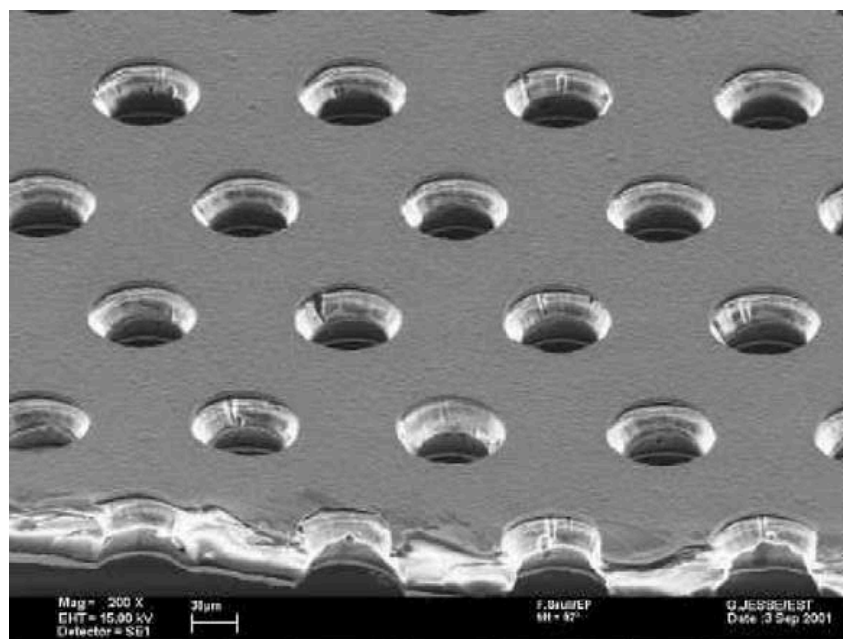


図 1.5: GEM の拡大図 [?].

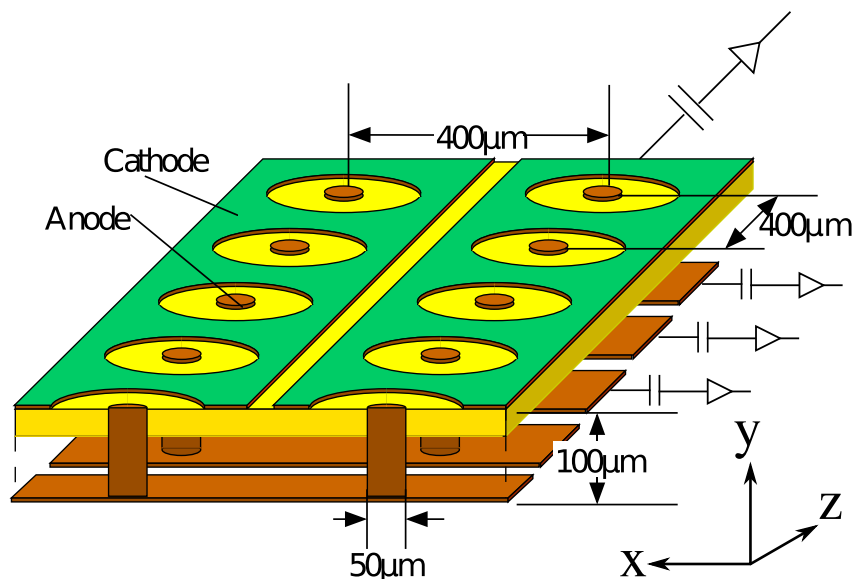


図 1.6: μ -PIC の概観図．図中の横方向に anode strip，奥行き方向に cathode strip が配置されている．

image と cathode strip に垂直な面 ($x-y$ 平面) に射影された cathode image の 2 つの画像が出力される。MAIKo TPC から得られる画像の 1 例を図 1.7 に示す。anode strip と cathode strip はそれぞれ 256 ch で構成され、読み出される信号は 100 MHz で 1,024 samples 測定し、閾値に対する time over threshold (TOT) を取得する。TOT は閾値以上を 1，以下を 0 としたものである。出力されるデータは解像度が $256 \times 1,014$ pixels の白黒画像となる。また、anode strip, cathode strip とともに 32 ch ごとにまとめて信号を波形として FADC で取得している。32 ch ごとにまとめられるため、anode strip, cathode strip とともに 8 ch ずつ FADC でデータを取得している。FADC で取得した信号の一例を図 1.8 に示す。FADC は 25 MHz で波形を取得する。

1.2 検出ガスの候補

標的に ^{12}C を用いるため、分子中に炭素を含むガスを検出ガスに用いる必要がある。 ^{12}C 以外の原子核が含まれると背景事象となる。陽子、 ^4He と 14 MeV の中性子の散乱は複数の荷電粒子に崩壊しないため、トラックの本数から背景事象を取り除くことができる。そこで、水素と炭素以外の原子が含まれない炭化水素を検出ガスに用いる。代表的な炭化水素に、メタン (CH_4) やエタン (C_2H_6)、イソブタン ($\text{iso-C}_4\text{H}_{10}$) がある。また、水素ガスやヘリウムガスとの混合ガスも用いることができる。検出ガスとして求められる性能には以下のようなものがある。

- 放電しにくい。（安定な TPC の運用）
- α 粒子のエネルギー損失 (dE/dx) が適切である。（トラックを正しく抽出）
- 適切なドリフト速度を達成できる。（有感領域を効率的に使用）
- 適切なドリフト電場のもとでディフュージョンが小さい。（複数のトラックを正しく抽出）
- ^{12}C の量が少なくない。（散乱標的の量）

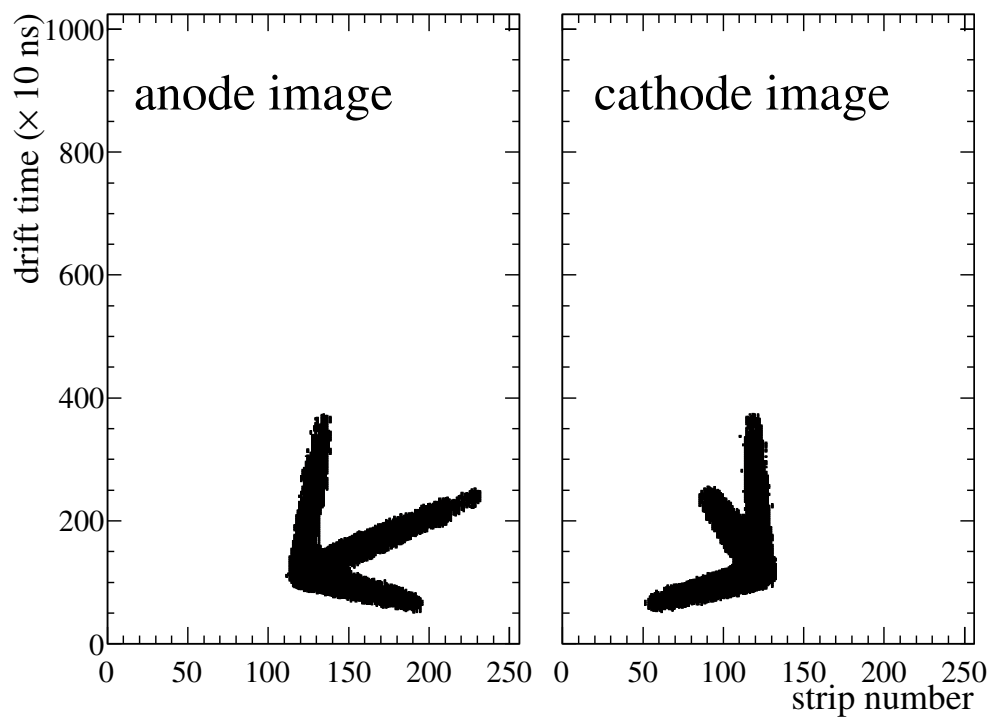


図 1.7: MAIKO TPC から得られる画像データの一例. このイベントは??章で述べるシミュレーションによって生成したデータである.

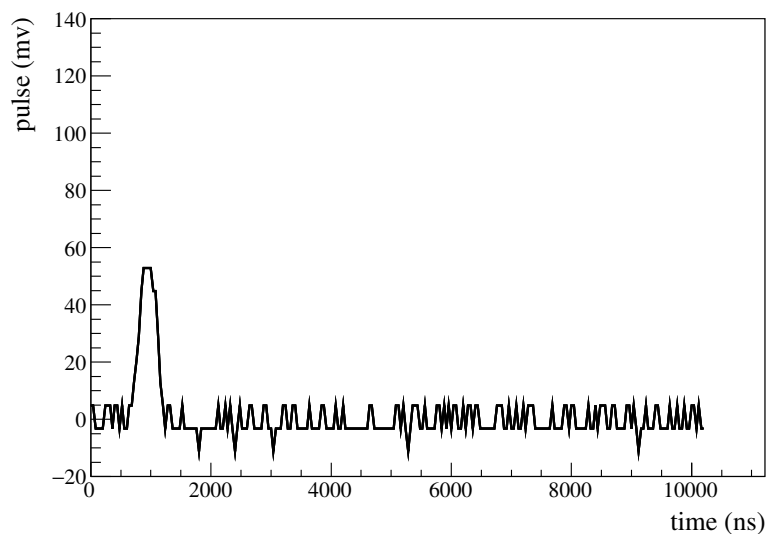


図 1.8: FADC で取得された μ -PIC の波形の一例. この波形は iso-C₄H₁₀ (1)+H₂ (9) を検出ガスとして求めた際のものである.

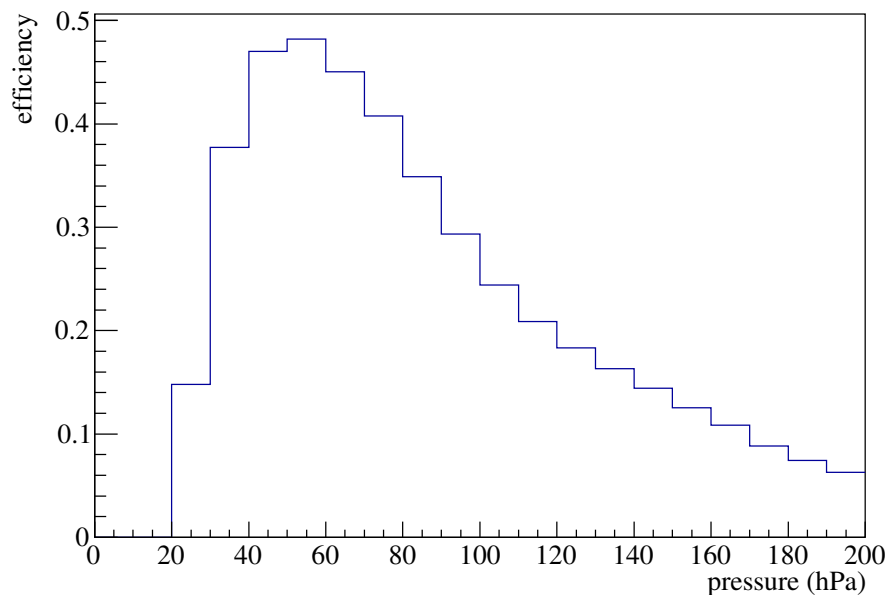


図 1.9: CH_4 の圧力による検出効率の分布. α 粒子は図??に示したエネルギー分布を仮定した.

これらの項目を基準に検出ガスの種類と圧力の決定を行う.

1.2.1 α 粒子のエネルギー損失

MAIKo TPC では荷電粒子のエネルギーと運動量をトラックの長さや方向から決定するため、トラックを正しく抽出することが必要となる. 荷電粒子のエネルギー損失 (dE/dx) が大きくなりすぎると検出ガス中での飛行距離が短くなり、トラックとして識別することが難しくなる. また、 dE/dx が小さくなりすぎるとトラックが有感領域で止まらず、トラックの長さを決定することができなくなる. 検出する対象である α 粒子の dE/dx が適切な大きさとなるガスの種類と圧力の候補を選出する.

まず、代表的な炭化水素である CH_4 を考える. ガス中で 10 mm 以上飛行し、MAIKo TPC の有感領域中で停止する α 粒子を検出可能な α 粒子とする. 全ての α 粒子を検出できたイベントの割合を検出率とする. 図??に示したエネルギー分布の α 粒子のうち、検出率の圧力依存性を図 1.9 に示す. このとき、散乱点がビーム軸上に一様に分布していると仮定した. 図 1.9 から分かるように、50 hPa で最大となっている. 50 hPa のときの CH_4 の dE/dx と同程度となる、他の検出ガスを考え、表 1.2 に示した 6 つを候補とした. 括弧内はガスの混合の割合を示す. これらの 6 種類の候補から検出ガスを選ぶ. 50 hPa のときの CH_4 の各種の値は表 1.1 のとおりである.

1.2.2 ドリフトスピード

MAIKo TPC では 100 MHz で 1,024 samples データを取得するため、ドリフト方向は $10.24 \mu\text{s}$ のタイムウィンドウが開いている. ドリフトケージの大きさ (140 mm) を可能な限りタイムウィンドウに収めるため

表 1.1: 50 hPa のときの CH_4 のパラメータ.

項目	値
密度	$3.29 \times 10^{-5} \text{ g cm}^{-3}$
dE/dx ($E_\alpha = 0.5 \text{ MeV}$, 10 mm)	0.107 MeV
飛距離 ($E_\alpha = 0.5 \text{ MeV}$)	65.6 mm
検出率	48.2 %

表 1.2: ガスの混合パターン, 圧力, dE/dx . 括弧内はガスの混合の割合を示す.

gas	pressure (hPa)	density (g cm^{-3})	dE/dx (MeV) $E_\alpha = 0.5 \text{ MeV}$ 10 mm	ドリフト電場 (V mm^{-1}) @ 0.014 mm ns^{-1}
CH_4	50	3.29×10^{-5}	0.107	0.418
CH_4 (3) + H_2 (7)	100	2.55×10^{-5}	0.107	4.31
CH_4 (4) + He (6)	100	3.62×10^{-5}	0.109	1.89
iso- C_4H_{10}	15	3.58×10^{-5}	0.102	0.644
iso- C_4H_{10} (1) + H_2 (9)	100	3.13×10^{-5}	0.122	6.80
iso- C_4H_{10} (1) + He (9)	100	3.86×10^{-5}	0.102	3.26

には, ドリフトスピードを $140 \text{ mm}/10.24 \mu\text{s} \sim 0.014 \text{ mm ns}^{-1}$ に調整する必要がある. Magboltz [?] によって計算したドリフト電場とドリフトスピードの関係を図 1.10 に示す. ドリフトスピードが 0.014 mm ns^{-1} となるドリフト電場の値を表 1.2 に示す. 図 1.10 の横方向の点線は 0.014 mm ns^{-1} を表す. 以降, これらのドリフト電場で評価を行う.

1.2.3 電子のディフュージョンの効果

ドリフト電場によって電子が移動する間に検出ガスとの散乱と電子の熱運動により, 図 1.11 のように広がりがながらドリフトする. 電子が広がることをディフュージョンと呼ぶ. この効果が大きくなると, 荷電粒子によって同じ場所に生成された電子が $\mu\text{-PIC}$ に到達するまでに広がるため, トラックが太く検出される. トラックが太くなると, 複数のトラックを分離することが難しくなる. そのため, ディフュージョンの効果が小さいことが望まれる.

ドリフト電場がない場合のディフュージョンは以下のように理解できる. 電子は熱運動により発生点から拡散する. 熱運動の平均速度 v は Maxwell 分布より

$$v = \sqrt{\frac{8k_B T}{\pi m_e}} \quad (1.1)$$

と表せる. ここで k_B はボルツマン定数, T は温度, m_e は電子の質量である. 電子が発生した時刻から Δt 後では,

$$\frac{N_0}{\sqrt{4\pi Dt}} \exp\left(-\frac{x^2}{4Dt}\right) \quad (1.2)$$

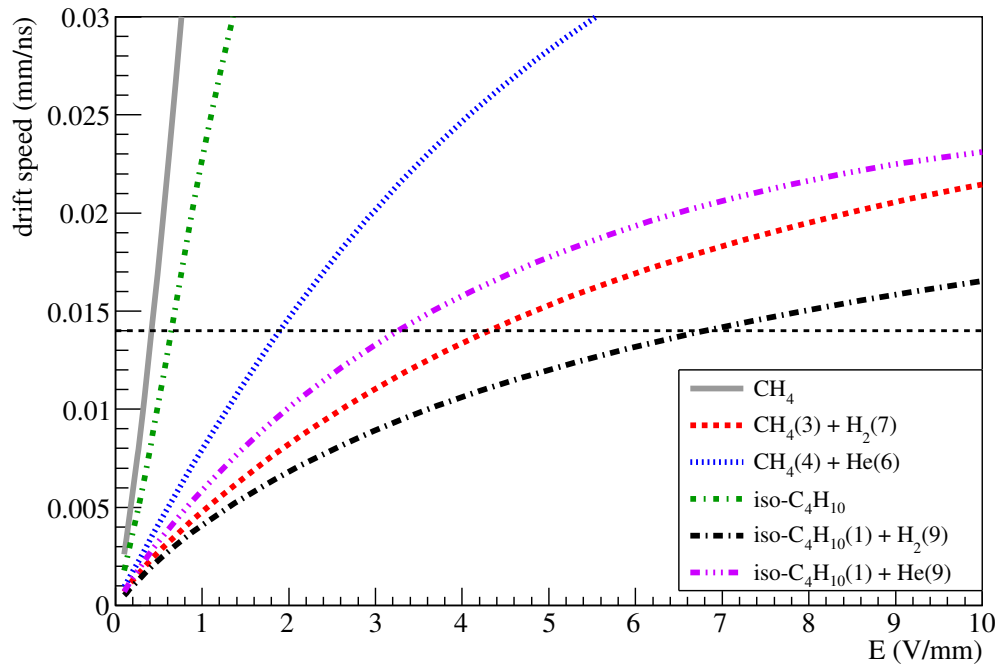


図 1.10: ドリフト電場とドリフトスピードの関係。CH₄ は 50 hPa, iso-C₄H₁₀ は 15 hPa, その他は 100 hPa である。横方向の点線は 0.014 mm ns⁻¹ を示す。

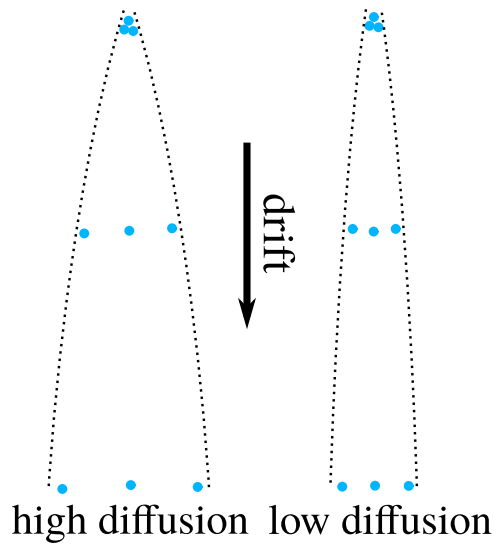


図 1.11: ディフュージョンによって電子が拡散するイメージ。同じ位置で生成された電子でもドリフトする間に位置が拡散する。

のガウス分布で電子が広がる．ここで N_0 は全粒子数， x は発生した点からの距離， D はディフュージョン係数を表す．ディフュージョン係数 D は電子の平均自由工程 λ を用いて

$$D = \frac{1}{3} v \lambda \quad (1.3)$$

と表せる．理想気体において平均自由工程 λ は，ガスとの散乱の全断面積 σ_0 ，圧力 p のもとで

$$\lambda = \frac{1}{\sqrt{2}} \frac{k_B T}{\sigma_0 p} \quad (1.4)$$

と表される．式 1.1, 1.3, 1.4 より，

$$D = \frac{2}{3\sqrt{\pi}} \frac{1}{p\sigma_0} \sqrt{\frac{(k_B T)^3}{m_e}} \quad (1.5)$$

となる．式 1.5 より，同じガスでは圧力が高いほど，温度が低いほどディフュージョン係数が小さいことが分かる．

ドリフト電場がある場合，発生点からの距離を L ，ドリフトスピードを v_{drift} とすると，

$$\Delta t = \frac{L}{v_{\text{drift}}} \quad (1.6)$$

となる．式 1.2 の分散 $\sigma(L)$ は

$$\sigma(L) = \sqrt{2D\Delta t} \quad (1.7)$$

$$= \sqrt{\frac{2D}{v_{\text{drift}}}} \times \sqrt{L} \quad (1.8)$$

$$= D_{\text{Magboltz}} \times \sqrt{L} \quad (1.9)$$

となる．Magboltz によってディフュージョン係数 D_{Magboltz} が得られる．Magboltz によって計算したディフュージョン係数を表 1.3 に示す．表 1.3 中の D_t はドリフト方向に対して垂直な方向への拡散， D_l は電子の運動方向への拡散の係数を表す． CH_4 および $\text{iso-C}_4\text{H}_{10}$ の単体ではディフュージョン係数が大きく，同じドリフトスピードのとき，ドリフト電場が大きいほどディフュージョン係数が小さいことが分かる． $\text{iso-C}_4\text{H}_{10}$ (1) + H_2 (9) が最もディフュージョン係数が小さく，検出ガスの最有力候補である．シミュレーションにより生成した $^{12}\text{C}(\text{n}, \text{n}')^{12}\text{C}(0_2^+)$ イベントを解析し，その解析効率により検出ガスを決定する．

表 1.3: Magboltz で計算したディフュージョンの係数. ディフュージョンの大きさはドリフト電場に依存するため, ここではドリフトスピードが 0.014 mm ns^{-1} になるドリフト電場での値を示す. D_t , D_l はそれぞれ運動方向に垂直, 平行方向のディフュージョン.

gas	$D_t(\sqrt{\text{mm}})$	$D_l(\sqrt{\text{mm}})$	ドリフト電場 (V mm^{-1})
CH_4	0.433	0.547	0.418
CH_4 (3) + H_2 (7)	0.214	0.171	4.31
CH_4 (4) + He (6)	0.270	0.248	1.89
iso- C_4H_{10}	0.357	0.414	0.644
iso- C_4H_{10} (1) + H_2 (9)	0.196	0.145	6.80
iso- C_4H_{10} (1) + He (9)	0.246	0.197	3.26